

# ***Analisis Kestabilan Lereng pada Inlet dan Outlet Dengan Perkuatan Shotcrete dan soil nailing (Studi Kasus: Bangunan Pengambilan Bendungan Manikin)***

*Slope Stability Analysis At Inlets And Outlets With Shotcrete Reinforcement And Shotcrete dan soil nailing (Case Study: Manikin Dam Retrieval Building)*

**Desinta Banni Lomi<sup>1</sup>, Denik Sri Krisnayanti<sup>2</sup>, Judi K. Nasjono<sup>3\*</sup>**

<sup>1</sup>Program Studi Teknik Sipil, Fakultas Sains dan Teknik, Universitas Nusa Cendana, Kupang 65145, Indonesia

<sup>2</sup>Program Studi Teknik Sipil, Fakultas Sains dan Teknik, Universitas Nusa Cendana, Kupang 65145, Indonesia

<sup>3</sup>Program Studi Teknik Sipil, Fakultas Sains dan Teknik, Universitas Nusa Cendana, Kupang 65145, Indonesia

## Article info:

### Kata kunci:

Kestabilan Lereng, Soil Nailing, shotcrete, Bangunan pengambilan

### Keywords:

Slope Stability, Soil Nailing, Building Intake

### Article history:

Received: 16-06-2025

Accepted: 21-07-2025

### \*Koresponden email:

[desintalomi@gmail.com](mailto:desintalomi@gmail.com)

[denik.krisnayanti@staf.undana.ac.id](mailto:denik.krisnayanti@staf.undana.ac.id)

[judi.nasjono@staf.undana.ac.id](mailto:judi.nasjono@staf.undana.ac.id)

## Abstrak

Bendungan Manikin terletak di Desa Kuaklalo, Nusa Tenggara Timur (NTT), dengan kondisi geologi yang kurang baik yang didominasi oleh tanah lempung bobonaro yang merupakan salah satu jenis tanah yang ekspansif. Tujuan penelitian ini adalah: Mengetahui nilai faktor keamanan pada lereng *inlet* dan *outlet* bangunan pengambilan tanpa perkuatan *shotcrete* dan *soil nail* dan akibat adanya pembebangan dan setelah diberikan perkuatan *shotcrete* dan *soil nail*. Analisis stabilitas lereng *inlet* dengan Geostudio menggunakan dua kondisi yaitu kondisi non-NWL (*slope/w*) tanpa perkuatan SF=1.141, dengan perkuatan SF=1.303, dan kondisi NWL (*seep/w*) tanpa perkuatan SF=1.528, dengan perkuatan SF=1.844. Dengan perhitungan manual stabilitas lereng *inlet* tanpa perkuatan SF= 1.260, akibat adanya gempa SF= 1.148 dan analisis stabilitas dengan perkuatan *shotcrete* dan *soil nail* terhadap keruntuhan global SF=1,708. Hasil perhitungan stabilitas lereng *outlet* tanpa perkuatan *slope/w* SF=1.490, dengan perkuatan 1.597 lalu dengan perhitungan manual tanpa perkuatan menggunakan metode Bishop SF=1.791, akibat gempa SF= 1.600 dan analisis stabilitas dengan perkuatan *shotcrete* dan *soil inlet* terhadap keruntuhan global SF=1,665.

## Abstract

*Manikin Dam is located in Kuaklalo Village, East Nusa Tenggara (NTT), with poor geological conditions dominated by bobonaro clay soil which is one type of expansive soil. The objectives of this study are: To determine the value of the safety factor on the inlet and outlet slopes of the intake structure without shotcrete and soil nail reinforcement and due to loading and after being given shotcrete and soil nail reinforcement. Inlet slope stability analysis with Geostudio using two conditions, namely non-NWL conditions (*slope/w*) without reinforcement SF=1.141, with reinforcement SF=1.303, and NWL conditions (*seep/w*) without reinforcement SF=1.528, with reinforcement SF=1.844. With manual calculation of inlet slope stability without reinforcement SF=1.260, due to earthquake SF=1.148 and stability analysis with shotcrete reinforcement and soil nail against global collapse SF=1.708. The results of the calculation of outlet slope stability without reinforcement *slope/w* SF=1.490, with reinforcement 1.597 then with manual calculation without reinforcement using the Bishop method SF=1.791, due to earthquake SF=1.600 and stability analysis with shotcrete reinforcement and soil nail against global collapse SF=1.665.*

## Kutipan:

## 1. Pendahuluan

Bendungan Manikin terletak di Desa Kuaklalo, yang berbatasan dengan Desa Bokong, Kecamatan Taebenu, Kabupaten Kupang, Nusa Tenggara Timur (NTT). Kondisi topografi di Kecamatan Taebenu memiliki ketinggian antara 131 m – 401 m di atas permukaan laut dengan kemiringan lahan yang berbeda – beda dari landai – sedang. Desa Kuaklalo yang merupakan tempat pekerjaan Bendungan berada pada ketinggian 292 m di atas permukaan laut.

Potensi terjadinya longsor karena dipengaruhi oleh beberapa hal, misalnya adanya galian, kemiringan lereng yang curam, intensitas curah hujan yang tinggi, terjadi pergerakan tanah, maupun kondisi tanah yang kurang baik. Terjadinya longsor karena adanya ketidakseimbangan antara gaya yang bekerja pada lereng yaitu gaya pendorong yang terjadi pada lereng lebih besar dari pada gaya penahan yang berada di lereng tersebut (Pragustus et all., 2019).

Pada pelaksanaan proyek Pembangunan Bendungan Manikin diketahui bahwa kondisi geologi yang kurang baik dengan tanah eksisting didominasi oleh tanah lempung bobonaro yang merupakan salah satu jenis tanah yang ekspansif yang dalam pembangunan sebuah bendungan kurang direkomendasikan. Lempung ekspansif merupakan tanah yang memiliki sifat kembang susut yang besar dan perlakunya sangat dipengaruhi oleh air yang memiliki kembang susut yang tinggi, berdasarkan karakteristik tersebut maka lempung ekspansif sangat mempengaruhi kuat geser tanah (Kay et all., 2022). Kondisi lahan area *Inlet* dan *Outlet* Bangunan Pengambilan/*Intake* Bendungan Manikin yang memiliki jenis tanah lempung ekspansif dengan lahan terbuka sehingga memerlukan analisa lanjutan terkait potensi longsor yang bisa terjadi di area tersebut. Dikarenakan adanya potensi kelongsoran pada daerah lereng *inlet* maupun *outlet* pengambilan maka dibutuhkan sebuah upaya perkuatan pada lereng- lereng tersebut.

Kelongsoran bisa dicegah dengan melakukan analisis kestabilan lereng untuk mengetahui faktor keamanan (FK) dari lereng tersebut dan apabila kondisi lereng tidak aman, maka lereng tersebut harus diberi perkuatan.

Perkuatan yang digunakan pada lereng *inlet* dan *outlet* bangunan pengambilan (*intake*) proyek Pembangunan Bendungan Manikin yaitu menggunakan perkuatan *soil nailing* yang di kombinasikan dengan *shotcrete*.

## 2. Bahan dan Metode

Lokasi penelitian bertempat di Bendungan Manikin yang secara administratif terletak di Sungai Manikin, diantara Desa Kuaklalo dan Desa Bokong Kecamatan Taebenu, secara topografis terletak pada koordinat  $10^{\circ}12'46''\text{LS}$  dan  $123^{\circ}43'04''\text{BT}$ . Tepatnya pada lereng *inlet* dan *outlet* bangunan pengambilan. Bahan penelitian yang digunakan berasal dari data primer dan data sekunder. Data primer berupa gambar lereng *inlet* dan *outlet*. Sedangkan data sekunder diperoleh dari pihak – pihak proyek yaitu Balai Besar Wilayah Sungai Nusa Tenggara II (BBWS NT II) dan Konsultan Perencana, PT. Inakko Internasional Konsulindo KSO, PT. Bina Karya (Persero), PT. Indah Karya (Persero) berupa.

1. Gambar *layout* dan *cross section* lereng *inlet* dan *outlet* bangunan pengambilan Bendungan Manikin
2. Data tanah hasil penyelidikan geologi pada *inlet* dan *outlet* Bangunan Pengambilan Bendungan Manikin
3. Trial mix beton K-225 *wet shotcrete*

Dalam penelitian ini, dalam menganalisis stabilitas lereng menggunakan *software Geostudio V.23 slope/w* dan *seep/w* dan juga perhitungan manual menggunakan *excel*. *Slope/w* untuk menganalisis stabilitas lereng dan *Seep/w* untuk menganalisis rembesan. Fitur ini menggunakan metode kesetimbangan batas (*limit equilibrium*) untuk mencari angka keamanan sebuah lereng dengan menggunakan salah satu dari delapan metode kesetimbangan untuk berbagai permukaan tanah yang miring, tekanan air pori, sifat tanah, dan beban terkonsentris. Kemudian *Seep/w* untuk menganalisis rembesan air dan masalah disipasi tekanan air pori berlebih dalam bahan berpori seperti tanah dan batuan. Dengan formulasi yang komprehensif memungkinkan dapat mempertimbangkan analisis mulai dari yang sederhana, masalah kondisi jenuh atau tidak jenuh *steady-state* sampai dengan masalah kondisi jenuh atau tidak jenuh yang tergantung pada waktu (Putra et all., 2022). Pada penelitian ini dilakukan analisis pada lereng *inlet* dan *outlet*. Pada lereng *Inlet* di analisis dengan dua kondisi yaitu dengan *normal water level* dan tanpa *normal water level* dengan elevasinya 147.5 MDPL. Perkuatan yang digunakan pada Bendungan Manikin yaitu *shotcrete* dan *soil nailing*. *Shotcrete* merupakan campuran berbahan dasar semen yang diproyeksikan dengan kecepatan tinggi ke area permukaan yang menerima

(Putro et all., 2023). *Soil nailing* adalah salah satu teknik konstruksi yang bisa digunakan sebagai metode untuk memperkuat kondisi lereng tanah yang tidak stabil atau sebagai teknik konstruksi yang digunakan untuk menambah keamanan bagi lereng eksisting yang telah stabil (Atikah et all., 2017)

### 2.1. Analisis Stabilitas

Analisis stabilitas lereng adalah menentukan faktor keamanan dari bidang longsor. Faktor keamanan (FK) didefinisikan sebagai nilai perbandingan antara gaya yang menahan dan gaya yang menggerakkan (Fauzi et all., 2019). Faktor keamanan dapat didefinisikan dalam persamaan berikut

$$FK = \frac{\tau}{\tau_d} \quad (1)$$

Dimana:

$\tau$  : faktor keamanan,

$\tau$  : tahanan geser maksimum yang dapat dikerahkan oleh tanah [ $\text{kN}/\text{m}^2$ ]

$\tau_d$  : tegangan geser akibat gaya dorong tanah yang mengakibatkan longsor [ $\text{kN}/\text{m}^2$ ]

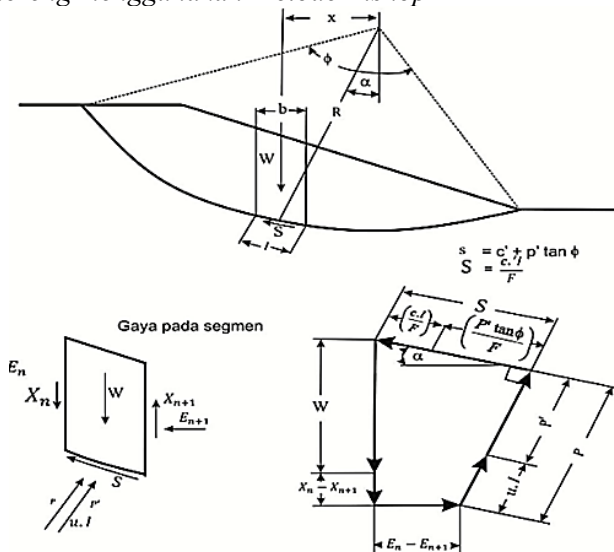
Nilai-nilai faktor keamanan (FK) atau *safety factor* (SF) untuk menilai kestabilan suatu lereng menurut Bowles (1984) yaitu sebagai berikut:

$SF < 1,07$  : keruntuhan biasa terjadi (labil)

$1,07 < SF < 1,25$  : keruntuhan pernah terjadi (kritis)

$SF \geq 1,25$  : keruntuhan jarang terjadi (stabil)

### 2.2. Analisis stabilitas lereng menggunakan Metode Bishop



**Gambar 1.** Gaya – Gaya Yang Bekerja Pada Metode Bishop Simplified

Sumber: (Eveny et all., 2014)

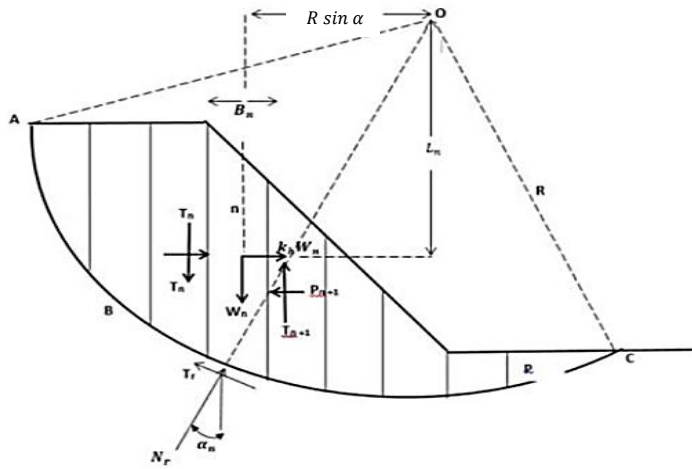
Asumsi yang digunakan dalam metode Bishop adalah gaya geser antar irisan sama dengan nol ( $x=0$ ) dengan bidang longsor berbentuk lingkaran

$$FK = \frac{\sum [c.b + (W - u.b) \tan \phi] \left( \frac{1}{M_i} \right)}{\sum W \sin \alpha} \quad (2)$$

$$M_i = \cos \alpha \left( \frac{1 + \tan \phi \tan \alpha}{F} \right) \quad (3)$$

Dengan,  $c$  : kohesi ( $\text{kN}/\text{m}^2$ ),  $b$  : lebar irisan (m),  $W$  : berat massa tanah ( $\text{kN}/\text{m}$ ),  $u$  : tekanan air pori ( $\text{kN}/\text{m}$ )

### 2.3. Analisis Stabilitas Lereng Akibat Gempa



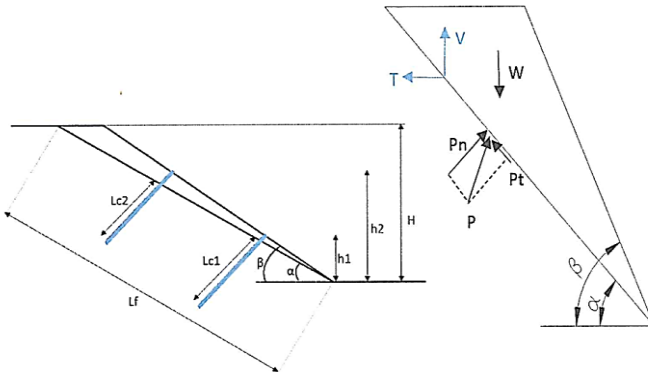
**Gambar 2.** Metode Irisan Konvensional  
Sumber : (Sutiyono et all., 2017)

ABC adalah busur dari lingkaran dengan pusatnya dititik O tanah di atas permukaan dibagi menjadi beberapa irisan. Panjang setiap irisan tidak perlu sama untuk lapis ke-n pertimbangkan ketebalan satuan disudut kanan untuk penampang yang ditampilkan.

$$FS = \frac{\sum_{n=1}^p (c B_n + \sec \alpha_n W_n \cos \alpha_n \tan \phi)}{\sum_{n=1}^p (W_n \sin \alpha_n n + k_h W_n (L_n / R))} \quad (4)$$

### 2.4. Analisis Stabilitas Dengan Perkuatan Shotcrete dan soil nailing

Perkuatan lereng harus aman terhadap keruntuhan, pada perhitungan manual, mengadopsi metode Baji (wedge) dengan bidang longsor planar yaitu :



**Gambar 3.** Gaya Yang Bekerja Pada Metode Baji  
Sumber : (Wibowo et all., 2022)

Nilai faktor keamanan terhadap keruntuhan global, terhadap pergeseran, terhadap cabut tulangan dan putus tulangan dapat dihitung dengan persamaan – persamaan berikut:

#### 2.4.1. Analisis Stabilitas Lereng eksternal

1. Faktor aman terhadap keruntuhan lereng global (*global stability failure*)

Faktor aman terhadap (SF) keruntuhan lereng global menggunakan persamaan berikut :

$$FS = \frac{c \cdot L_f + W \cos \alpha \cdot \tan \alpha + (\Sigma T_i \sin (\alpha + i) - \Sigma V_i \cos (\alpha + i) \tan \varphi)}{W \sin \alpha - \Sigma T_i \cos (\alpha + i) - \Sigma V_i \cos (\alpha + i)} \quad (5)$$

Dengan FS: faktor aman, c : kohesi ( $\text{kN}/\text{m}^2$ ),  $\varphi$  : sudut geser dalam ( $\text{kN}/\text{m}^3$ ),  $\alpha$  : sudut kemiringan bidang longsor ( $^\circ$ ), W : berat irisan tanah ( $\text{kN}/\text{m}$ ), I : kemiringan pemasangan sudut nail ( $^\circ$ ),  $\Sigma T_i$  : jumlah daya dukung terhadap gaya tarik ( $\text{kN}/\text{m}$ ),  $\Sigma V_i$  : jumlah daya dukung terhadap gaya geser ( $\text{kN}/\text{m}$ ) (K, Mina, and B 2015).

2. Faktor aman terhadap penggeseran termasuk beban gempa (*sliding stability failure*)

Tekanan tanah aktif diperhitungkan dari gaya horizontal yang timbul akibat beban tanah, konstruksi jalan, beban kendaraan dan beban gempa. Faktor aman terhadap (SF) penggeseran menggunakan persamaan berikut :

$$FS = \frac{c \cdot BL + (W + Q + Pa \sin \varphi) \tan \varphi}{Pa \cos \varphi} \quad (6)$$

Dengan FS : faktor aman, c : kohesi ( $\text{kN}/\text{m}^2$ ), BL : lebar struktur (m), Q : beban mati di atas lereng ( $\text{kN}/\text{m}$ ),  $\varphi$  : sudut geser dalam ( $^\circ$ ).

#### 2.4.2. Analisis Stabilitas Lereng Internal

1. Faktor aman terhadap putus tulangan

Faktor aman terhadap (SF) putus tulangan menggunakan persamaan berikut :

$$Fr = \frac{\frac{0.25 \times \pi \times D^2 \times f_y}{1000}}{\sigma_h \times S_v \times S_h} \quad (7)$$

$$\sigma = K_a \times \gamma \times z \quad (8)$$

Dengan D : diameter tulangan (mm), Sv : jarak tulangan *vertical* (m), Sh: jarak tulangan horizontal (m),  $\sigma_h$  : tekanan horizontal tanah pada kedalaman yang ditinjau ( $\text{kN}/\text{m}^2$ ), z : kedalaman yang ditinjau.

2. Faktor aman terhadap cabut tulangan

Faktor aman terhadap (SF) cabut tulangan menggunakan persamaan berikut :

$$F_p = \frac{\pi \times q_u \times D_{dh} \times L_p}{\sigma_h \times S_v \times S_h} \quad (9)$$

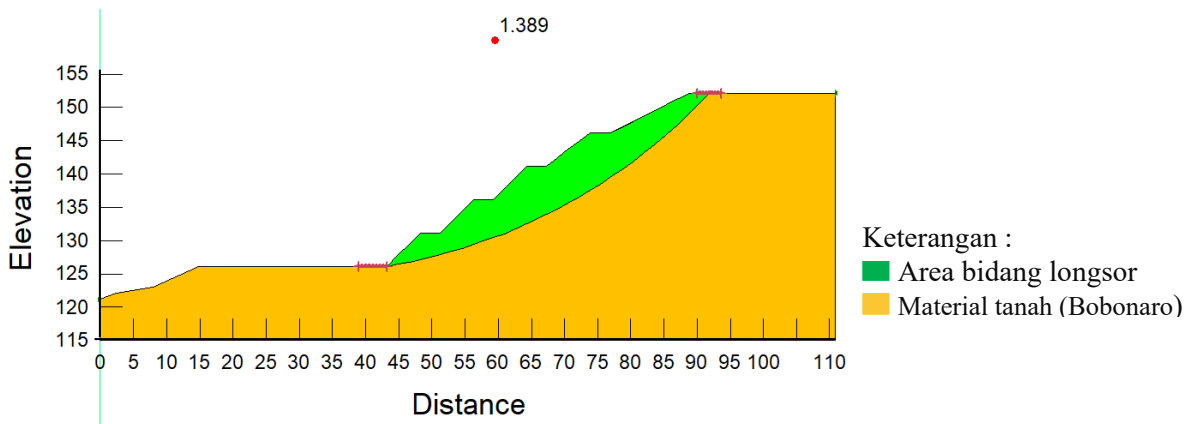
Dengan qu : *ultimate bond strength* ( $\text{kN}/\text{m}^3$ ), Lp : panjang tulangan yang berada pada zona pasif (m), Ddh : diameter lubang bor (m).

### 3. Hasil dan Pembahasan

**Tabel 1.** Parameter Tanah

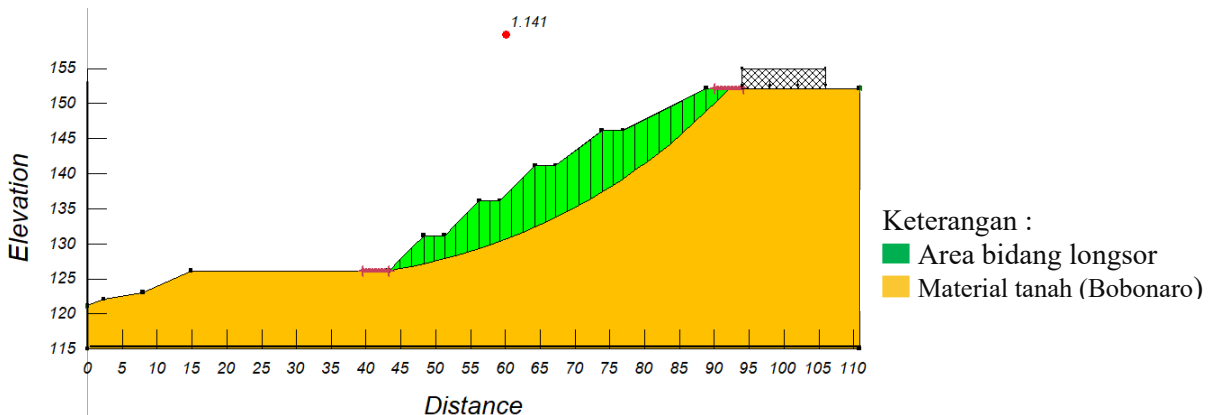
No	Lokasi penyelidikan	No. sampel	Berat isi tanah (gr/cm <sup>3</sup> )	Berat isi tanah kering (gr/cm <sup>3</sup> )	Sudut geser dalam (°)	kohesi (kg/cm <sup>2</sup> )
1	Inlet	INA GT- 37	2.134	1.829	14.12	0.42
2	Outlet	INA GT-41	2.194	1.702	22.55	0.30

#### 3.1. Analisis menggunakan slope/w dan seep/w

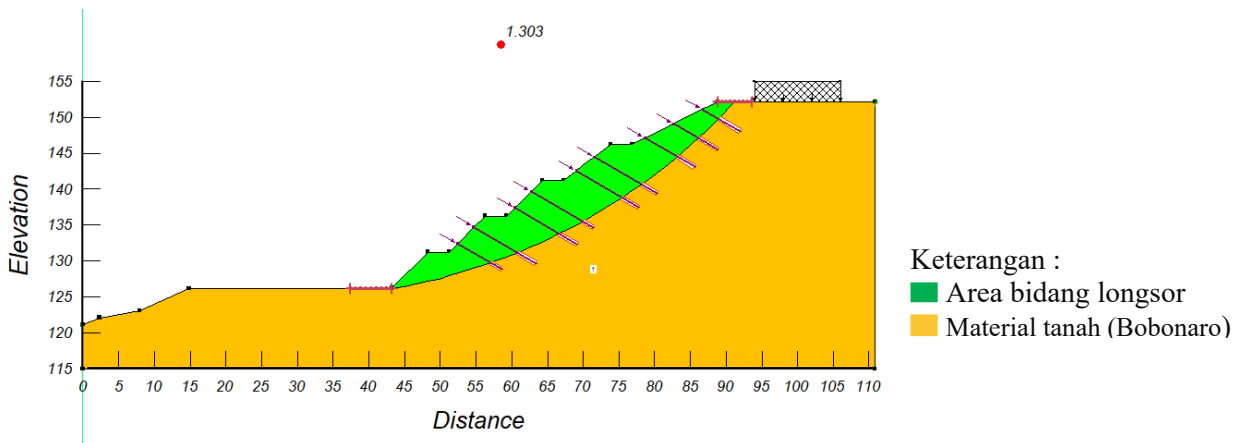


**Gambar 4.** Faktor Keamanan Kondisi Belum Digenangi Tanpa Gempa

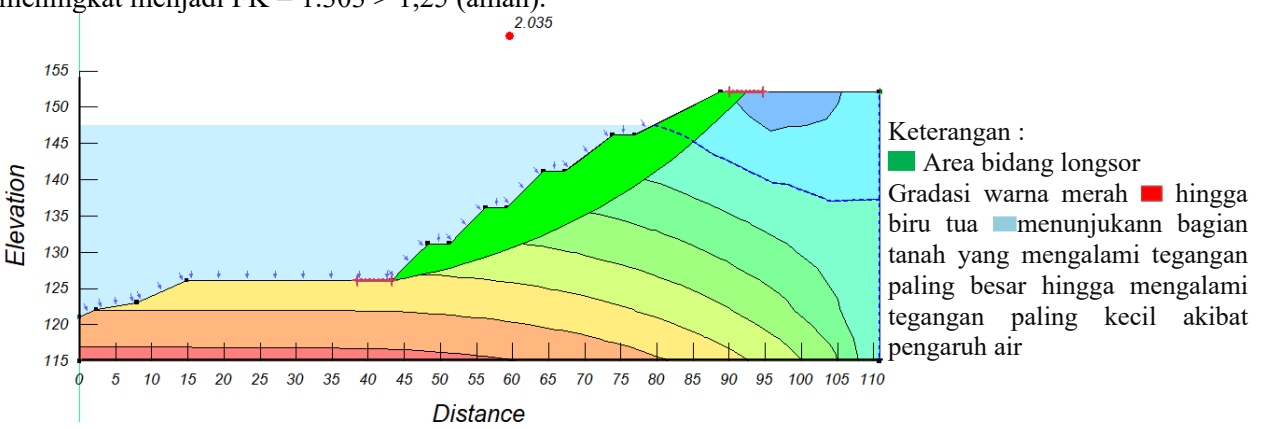
Hasil analisis *slope/w* dengan kondisi belum digenangi air tanpa pembebanan gempa dan konstruksi jalan, dan tanpa perkuatan *shotcrete* dan *soil nailing*  $FK=1.389 > 1.25$  (aman).

**Gambar 5.** Faktor Keamanan Kondisi Belum Digenangi + Gempa

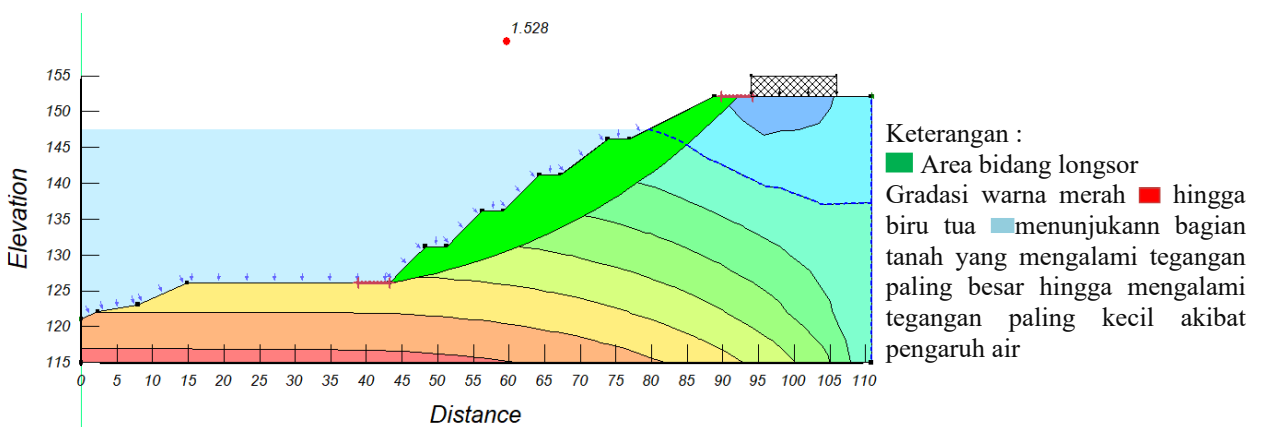
Hasil analisis  $slope/w$  dengan kondisi belum digenangi air setelah diberikan pembebahan gempa dan konstruksi jalan dan tanpa perkuatan *shotcrete* dan *soil nailing*  $FK = 1.141 < 1.25$  (tidak aman).

**Gambar 6.** Faktor Keamanan Kondisi Belum Digenangi + Gempa + SN

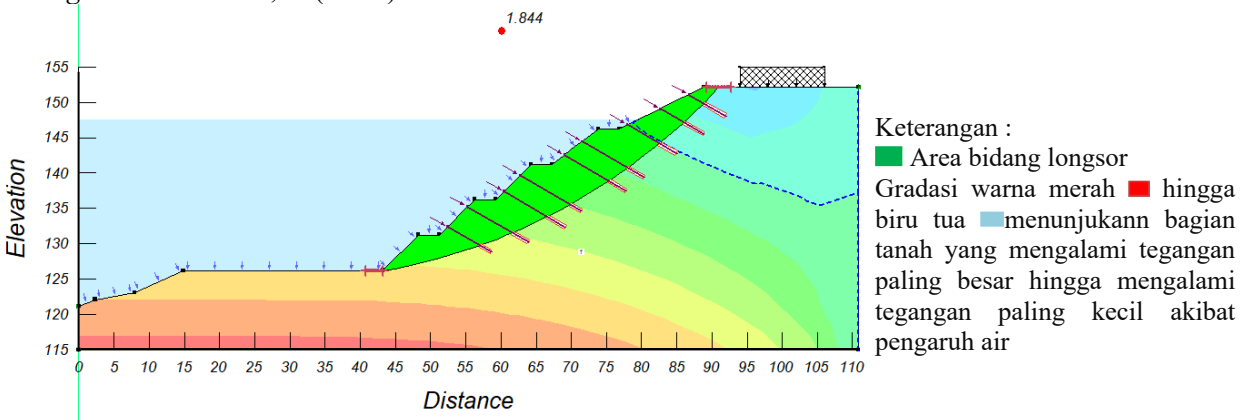
Hasil analisis  $slope/w$  dengan kondisi sebelum digenangi air, setelah diberikan pembebahan konstruksi jalan dan gempa, dan setelah diberikan perkuatan *shotcrete* dan *soil nailing* faktor keamanan meningkat menjadi  $FK = 1.303 > 1.25$  (aman).

**Gambar 7.** Faktor Keamanan Kondisi Digenangi + Tanpa Gempa

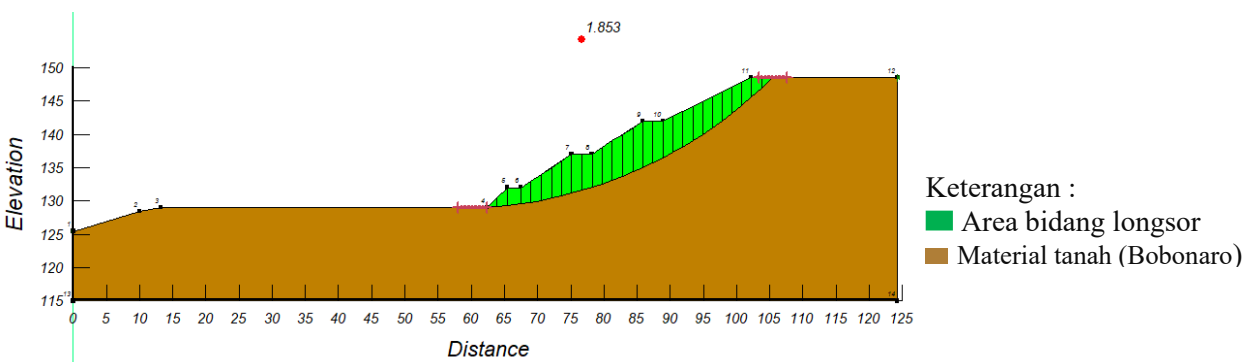
Hasil analisis rembesan dengan  $seep/w$  dengan kondisi *Normal Water Level* (NWL) elevasi 147.5 MDPL tanpa pembebahan konstruksi jalan dan gempa, dan tanpa perkuatan *shotcrete* dan *soil nailing*  $FK = 2.035 > 1.25$  (aman).

**Gambar 8.** Faktor Keamanan Kondisi Digenangi + Gempa

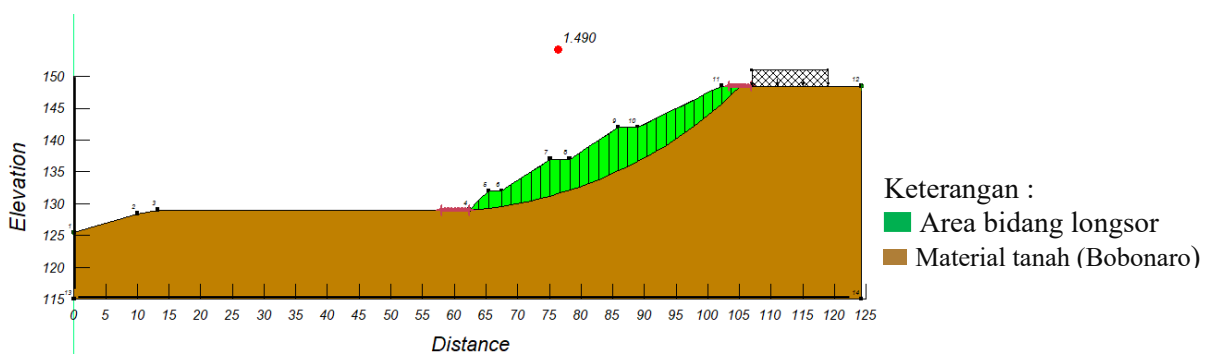
Hasil analisis rembesan dengan  $seep/w$  dengan kondisi *Normal Water Level* (NWL) elv. 147.5 MDPL dengan adanya pembebahan konstruksi jalan dan gempa, dan tanpa perkuatan *shotcrete* dan *soil nailing*  $FK = 1.528 > 1,25$  (aman).

**Gambar 9.** Faktor Keamanan Kondisi Digenangi + Gempa +SN

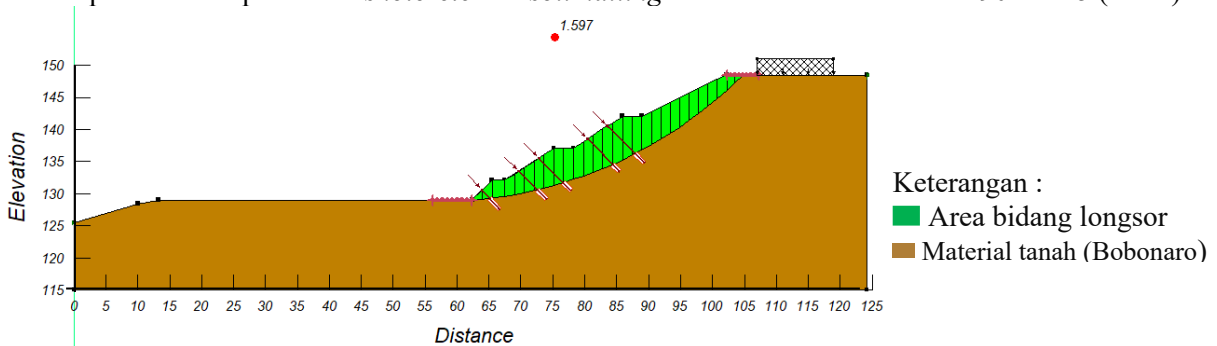
Hasil analisis rembesan dengan  $seep/w$  dengan kondisi *Normal Water Level* (NWL) elv 147.5 MDPL dengan adanya pembebahan konstruksi jalan, pembebahan gempa dan setelah diberikan perkuatan *shotcrete* dan *soil nailing*  $FK = 1.844 > 1,25$  (aman).

**Gambar 10.** Faktor Keamanan Tanpa Gempa

Hasil analisis  $slope/w$  lereng *outlet* tanpa diberikan pembebahan konstruksi jalan dan juga gempa, dan tanpa diberikan perkuatan *shotcrete* dan *soil nailing* faktor keamanan  $FK = 1.853 > 1.25$  (aman).

**Gambar 11.** Faktor Keamanan Dengan Gempa

Hasil analisis  $slope/w$  lereng outlet setelah diberikan pembebahan konstruksi jalan dan juga gempa, dan tanpa diberikan perkuatan *shotcrete* dan *soil nailing* faktor keamanan  $FK = 1.490 > 1.25$  (aman).

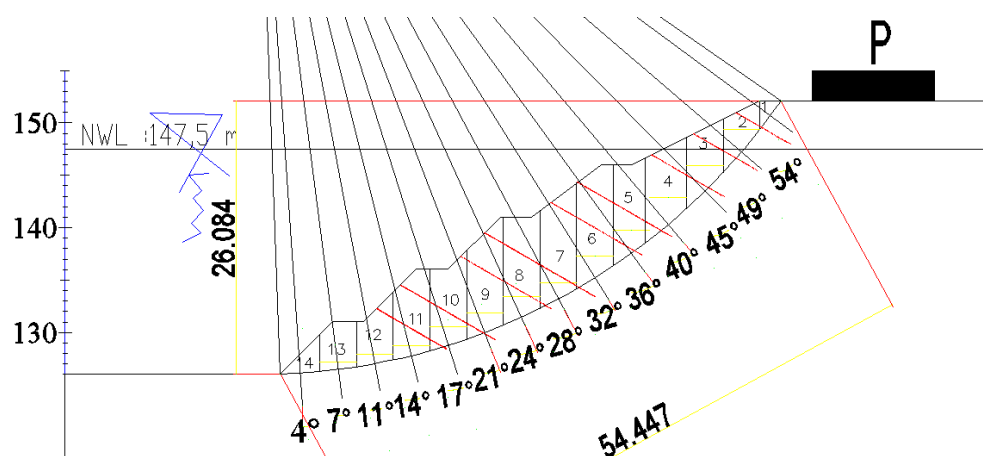
**Gambar 12.** Faktor Keamanan Setelah Diberi Perkuatan

Hasil analisis  $slope/w$  lereng outlet setelah diberikan pembebahan konstruksi jalan dan juga gempa, dan setelah diberikan perkuatan *shotcrete* dan *soil nailing* faktor keamanan  $FK = 1.597 > 1.25$  (aman).

### 3.2. Analisis tanpa Perkuatan *Shotcrete* dan *soil nailing*

#### 3.2.1. Analisis dengan metode Bishop

Pada Tabel 13 merupakan perhitungan stabilitas lereng *inlet* menggunakan metode Bishop.



**Gambar 13.** Pembagian Bidang Longsor Dalam Bentuk Irisan  
**Tabel 2.** Hasil Perhitungan Stabilitas Lereng *Inlet* Metode Bishop



### 3.3. Perkuatan Shotcrete dan soil nailing

Pada penelitian ini perkuatan yang digunakan yaitu *shotcrete* dan *soil nailing*. Berikut merupakan data- data yang digunakan sebagai berikut:

Data tulangan *nail* :

Diameter tulangan <i>nail</i>	: 25 mm
Mutu baja (fy)	: 420 Mpa
Diameter lubang bor	: 0,31 m
Panjang <i>nail</i>	: <i>inlet</i> = 7 m, 10m, 8m, 7m, 6m : <i>outlet</i> = 4m, 6m, 7m, 8m
Kemiringan <i>nail</i> (i)	: <i>inlet</i> 30° : <i>outlet</i> 45°
Jarak vertical	: 2,5 m
Jarak horizontal	: 2 m
Data material tanah	:
Berat isi tanah	: <i>inlet</i> 20,82 kN/m³ : <i>outlet</i> 21,94 kN/m³
Kohesi	: <i>inlet</i> 41,188 kN/m² : <i>outlet</i> 29,42 kN/m²
Sudut geser dalam	: <i>inlet</i> 14,120° : <i>outlet</i> = 22,55°
Sudut lereng	: <i>inlet</i> = 45° : <i>outlet</i> = 44°
Tinggi lereng (m)	: <i>inlet</i> = 26,084 m : <i>outlet</i> = 19,5m

#### 3.3.1. Perhitungan pembebanan pada lereng

##### 1. Konstruksi jalan

###### a. Berat perkerasan jalan beton

$$\begin{aligned} \text{berat perkerasan jalan} &= \text{berat perkerasan beton} + \text{berat pondasi bawah} \\ &= (0,2 \times 24) + (0,1 \times 24) \\ &= 7,2 \text{ kN/m}^2 \end{aligned}$$

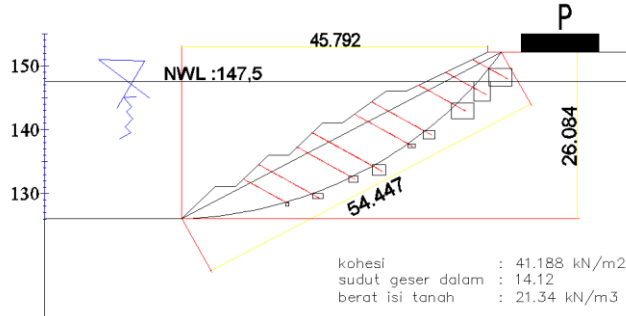
###### b. Beban kendaraan truk 3 as

$$\begin{aligned} P &= 100 \text{ kN} \\ B &= \sqrt{\frac{P\sqrt{2}}{P_c}} \\ B &= \sqrt{\frac{100\sqrt{2}}{620}} = 0,48 \text{ m} \\ L &= 0,5 \times B \\ L &= 0,24 \text{ m} \\ p' &= \frac{P}{2(B+2h \tan \alpha)(L+2h \tan \alpha)} \\ p' &= \frac{100}{2(0,48+2 \times 0,55 \tan 27^\circ)(0,24+2 \times 0,55 \tan 27^\circ)} \\ p' &= 60,033 \text{ kN/m}^2 \\ q_{tot} &= q_{perkerasan} + 4p' \\ &= 7,2 + 4 \times 60,033 \\ &= 247,331 \text{ kN/m}^2 \end{aligned}$$

###### c. Beban gempa

Menghitung percepatan gempa dipermukaan tanah bedasarkan peta gempa 2010, dengan T=100 tahun, diketahui  $kh = 0,101$

## 2. Analisis stabilitas lereng eksternal



**Gambar 14.** Sketsa Lereng Inlet Dengan Perkuatan

Perhitungan manual dengan mengadopsi metode baji (wedge) dengan bidang longsor planar, perhitungan di bawah ini merupakan perhitungan pada lereng *inlet*,

### a. Analisis stabilitas lereng terhadap keruntuhan global

$$Fs = \frac{c.Lf + W \cos \alpha \cdot \tan \alpha + (\sum Ti \sin(\alpha+i) - \sum Vi \cos(\alpha+i) \tan \varphi)}{W \sin \alpha - \sum Ti \cos(\alpha+i) - \sum Vi \cos(\alpha+i)}$$

$$Fs_{inlet} = \frac{(41,188 \times 54,447) + (6746,086 \times \cos 29 \times \tan 29) + (41,894 \times \sin(19+30)) - (0,069 \times \cos(29+30) \tan 14,12)}{6746,086 \times \sin 29 - 41,894 \times \cos(29+30) - 0,207 \times \cos(29+30)}$$

$$Fs_{inlet} = 1,708$$

$$Fs_{outlet} = \frac{(29,42 \times 48,032) + (5294,284 \times \cos 24 \times \tan 24) + (12,258 \times \sin((24+45))) - (0,328 \times \cos((24+45)) \tan 22,550)}{5294,284 \times \sin 24 - 31,774 \times \cos(24+45) - 0,328 \times \cos(24+45)}$$

$$Fs_{outlet} = 1,665$$

### b. Analisis stabilitas lereng terhadap keruntuhan gesar

$$Fs = \frac{c.b.BL + (W+Q+Pa \sin \varphi) \tan \varphi}{Pa \cos \varphi}$$

$$Fs_{inlet} = \frac{41,188 \times 47,792 + (6746,086 + 247,331 + 1598,04) \times 0,252}{6352,665}$$

$$Fs_{inlet} = 1,474$$

$$Fs_{outlet} = \frac{29,420 \times 39,896 + 5294,284 + 247,331 + 1243,31 \times 0,415}{2994,230}$$

$$Fs_{outlet} = 2,415$$

## 3. Analisis stabilitas lereng internal

$$Qu = 400 \text{ kN/m}^2$$

$$Fy = 420 \text{ Mpa}$$

$$D = 25 \text{ mm}$$

$$Sv = 2, 25 \text{ m}$$

$$Sh = 2 \text{ m}$$

$$Ddh = 0, 31 \text{ m}$$

$$Lp = 0,43 \text{ m}$$

### a. Menghitung nilai faktor keamanan terhadap putus tulangan

$$Fr = \frac{\left(\frac{0,25 \times \pi \times d^2 \times fy}{1000}\right)}{\sigma_h \times S_v \times S_h}$$

$$Fr = \frac{\left(\frac{0,25 \times \pi \times 25^2 \times 420}{1000}\right)}{15,615 \times 2,26 \times 2} = 2,921$$

### b. Menghitung nilai faktor keamanan terhadap cabut tulangan

$$Fp = \frac{\pi \times qu \times Ddh \times Lp}{\sigma_h \times S_v \times S_h}$$

$$Fp = \frac{3,14 \times 400 \times 0,31 \times 0,43}{15,615 \times 2,26 \times 2} = 2,373$$

Dengan perhitungan yang sama, maka penulis merangkum hasil perhitungan terhadap putus tulangan dan terhadap cabut tulangan *nail* di *inlet* dan *outlet* yang dapat dilihat pada Tabel 4 di bawah ini.

**Tabel 4.** Rekapan SF Putus Tulangan dan Cabut Tulangan

No	<i>inlet</i> L nail (m)	Fr	Fp	<i>outlet</i> L nail (m)	Fr	Fp
1	7	2,921	2,373	4	2,775	9,322
2	10	1,444	3,493	6	1,875	2,225
3	10	2,921	3,455	7	1,484	1,399
4	10	2,178	7,182	7	1,900	1,791
5	10	2,353	3,392	8	1,339	1,265
6	10	1,550	3,369			
7	8	2,215	7,399			
8	7	1,333	5,960			
9	6	1,512	9,184			

#### 4. Kesimpulan

Berdasarkan hasil yang diperoleh dari penelitian ini terkait stabilitas lereng *inlet* dan *outlet* Bangunan Pengambilan Bendungan Manikin sebelum diberikan perkuatan akibat adanya beban diketahui hasil analisis stabilitas lereng *inlet* menggunakan *slope/w* FK = 1.141, menggunakan *seep/w* FK= 1.528, berdasarkan perhitungan manual FK= 1.148 ,sedangkan angka keamanan lereng *outlet* menggunakan *slope/w* FK=1.490 menggunakan perhitungan manual FK = 1.600> 1,25. Hasil stabilitas lereng *inlet* dan *outlet* Bangunan Pengambilan Bendungan Manikin setelah diberikan perkuatan akibat adanya beban berdasarkan analisis *slope/w* pada lereng *inlet* diketahui FK= 1.303, hasil analisis *seep/w* FK = 1.844, berdasarkan perhitungan manual FK =1.708. dan hasil analisis stabilitas lereng *outlet* menggunakan *slope/w* FK =1.597, menggunakan perhitungan FK= 1.665.

#### Daftar Pustaka

- Atikah, Dewi, Pitojo Tri Juwono, and Andre Primantyo Hendrawan. 2017. "Pengaruh Hujan Pada Stabilitas Lereng Di Jalan Tol Gempol – Pandaan." *Jurnal Tenik Pengairan* 008(01): 79–88.
- Eveny, OFFI NUR. 2014. Universitas Sriwijaya "Perbandingan Metode Bishop, Janbu Dan Spencer Dalam Perhitungan Stabilitas Lereng Pada Batuan Tuff."
- Fauzi, Imron Maulana, and Indra Noer Hamdhan. 2019. "Analisis Stabilitas Lereng Dengan Perkuatan Geotekstil Woven Akibat Pengaruh Termal Menggunakan Metode Elemen Hingga." *Briliant: Jurnal Riset dan Konseptual* 2(1): 61–72.
- K, Rama Indera, Enden Mina, and Sevenuary B. 2015. "Analisis Stabilitas Lereng Dan Perencanaan Soilnailing Dengan Software Geostudio 2007." *Fondasi* 4(1).
- Kay, Imanuel Suryantha Dominggus. 2022. "Pengaruh Stabilisasi Fly Ash Terhadap Kuat Geser Lempung Ekspansif Pada Siklus Basah Dan Kering ' ( Studi Kasus : Kecamatan Takari ) Skripsi." Universitas Nusa Cendana.
- Pragustus, Depniel, Agnes T. Mandagi, and Arens E. Turangan. 2019. "Analisis Stabilitas Lereng Dengan Perkuatan Soil Nailing Menggunakan Software Slide 6.0 (Studi Kasus: Ruas Jalan Manado-Tomohon)." *Jurnal Sipil Statik* 7(11): 1445–52.
- Putra, Sahal Priyono, Abdul Rochim, and Sumirin. 2022. "Studi Metode Perkuatan Terhadap Lereng Menggunakan Geomat, Shortcrete, Dan Soil Nailing (Studi Kasus: Lereng Spillway Bendungan Sadawarna Paket II Subang)." 28(1): 65–77.
- Putro, Muhammad Fatoni Eko Nugroho, and Dian Hastari Agustina. 2023. "Analisis Kestabilan Lereng Dengan Perkuatan Shotcrete Menggunakan Plaxis ( Studi Kasus : Ruas Jalan Tarempa – Rintis Sta 07 + 800 Kab . Anambas )." 6(1): 223–30.
- Sutiyono, Dina Iis, Sjachrul Balamba, and Alva Noviana Sarajar. 2017. "Analisis Stabilitas Lereng Akibat Gempa Di Ruas Jalan Noongan - Pangu." *Tekno* 15(1–12).
- Wibowo, Agung Hari. 2022. "Stabilisasi Lereng Metode Soil Nailing Stabilisasi Lereng Metode Soil Nailing Di Ruas Jalan Giriwoyo-Glonggong Km. Ska. 81+200(Kab. Wonogiri)." 200.